ДИСПЕРСИОННЫЕ ФУНКЦИИ ОПТИЧЕСКИХ ХАРАКТЕРИСТИК ЗОЛЬ-ГЕЛЬ ПЛЕНОК ТИТАНАТА БАРИЯ¹

А. В. Шилов, П. А. Холов, А. А. Мухаммедмурадов, Д. А. Роговцов, Н. И. Стаськов (Учреждение образования «Могилевский государственный университет имени А. А. Кулешова», кафедра общей физики)

Спектрофотометрическим методом, основанным на измерениях спектров пропускательной способности и отношения отражательных способностей, определены дисперсионные функции показателей преломления и поглощения отожженных золь-гель пленок титаната бария на кварцевых подложках.

Титанат бария (BaTiO $_3$) является сегнетоэлектрическим материалом, который в кристаллическом и аморфном состоянии имеет перовскитную структуру со спонтанной электрической поляризацией. Такие пленки благодаря уникальным физическим свойствам могут быть использованы в сочетании с оксидом кремния для синтеза одномерных фотонных кристаллов и интерференционных фильтров, микрорезонаторов и микролазеров с высокой добротностью на модах шепчущей галереи [1]. Оптические характеристики кристаллического BaTiO $_3$ достаточно исследованы [2]. Известно также [3], что такие характеристики аморфно-кристаллических пленок SrTiO $_3$, полученных, например, по золь-гель технологии, зависят от состава геля, толщины пленок, материала подложки и температуры термообработки. В данном сообщении обсуждаются результаты интерполяции известными дисперсионными функциями экспериментально полученных зависимостей $n(\lambda)$ и $k(\lambda)$ пленки BaTiO $_3$ на кварцевой подложке.

Для формирования пленок титаната бария использовались золи на основе $Ti(OC_3H_7)_4$ и $Ba(CH_3COO)_2$. Методом центрифугирования с последующей сушкой и термообработкой при 450° С сформированы пленки на кварцевых подложках (d =3.5 мм). Морфологический анализ на растровом электронном микроскопе Hitachi S-4800 показал, что пленки являются рентгеноаморфными. С увеличением температуры отжига уменьшается толщина пленки, при этом ее мелкозернистая структура превращается в крупнозернистую структуру.

Спектры эллипсометрических углов $\psi(\lambda)$ и $\Delta(\lambda)$ пленок в диапазоне от 205 нм до 800 нм измеряли на спектральном эллипсометре UVISEL 2 (HORIBA) при углах падения 52°, 55° (рис. 1, кривая 1) и 58°.

 $^{^{1}}$ Работа выполнена в рамках задания 1.3.03 ГПНИ "Фотоника, опто- и микроэлектроника".

По спектру $\psi(\lambda)$ рассчитывалось отношение отражательных способностей пленок $R_p(\lambda)/R_s(\lambda)=[tg\psi(\lambda)]^2$. Спектры пропускательных способностей $T(\lambda)$ (рис. 1, кривая 3) этих же образцов измеряли на спектрофотометре Cary-500 при угле падения 0° . Мы допустили, что в указанной спектральной области кварцевые подложки по оптическим характеристикам идентичны плавленому кварцу.

$$n_{f}(E) = n_{\infty} + \left[B(E - E_{j}) + C\right] \left[\left(E - E_{j}\right)^{2} + \Gamma_{j}^{2}\right]^{-1},$$

$$k_{f}(E) = \begin{cases} f_{j}\left(E - E_{g}\right)^{2} \left[\left(E - E_{j}\right)^{2} + \Gamma_{j}^{2}\right]^{-1}, & E > E_{g}, \\ 0, & E < E_{g}, \end{cases}$$

$$B = f_{j}\Gamma_{j}^{-1} \left[\Gamma_{j}^{2} - \left(E_{j} - E_{g}\right)^{2}\right], \quad C = 2f_{j}\Gamma_{j}\left(E_{j} - E_{g}\right),$$

 $E=1240\lambda^{-1}$ – энергия фотона в электрон-вольтах (длина волны λ берется в нанометрах). В области «хвоста» Урбаха от 297 μ M до 325 μ M наблюдается аномальное увеличение $n(\lambda)$. Постоянное значение функции $k(\lambda)$ в области прозрачности, возможно, указывает на потери энергии при рассеянии света на зернистой структуре золь-гель пленок ВаTiO_3 . После расчета спектра коэффициента поглощения $\alpha(\lambda)=4\pi k(\lambda)/\lambda$ появляется возможность на основании экстраполяции $\text{Тауца}\ (\alpha(\lambda)E)m=B(E-E_g)$ определить E_g — ширину запрещенной зоны BaTiO_3 . Пересечение линейного участка зависимостей $(\alpha(\lambda)E)^m$ с осью E дает оценку $E_g=4.17$ эB для M=1.5. Так как $\alpha(\lambda)=\alpha(\lambda g)\exp[(E-E_g)/E_g]$, то энергию Урбаха $E_u=0.346$ эB определили по точке пересечения линейного участка кривой $\ln[\alpha(\lambda)]$ с осью E. Величина M указывает, что поглощение света вызвано не прямозонными переходами электронов. Наличие длинноволнового «хвоста» Урбаха на спектре $k(\lambda)$ может быть связано не только с электронными уровнями в запрещенной зоне, но и с неоднородностями структуры пленок, которые приводят к рассеянию света. Приведенные данные показывают, что спектры $n(\lambda), k(\lambda)$ золь-гель пленок $n(\lambda)$ в области полосы поглощения интерполируются дисперсионными формулами для аморфных материалов (205 $n(\lambda)$). Урбаха (297 $n(\lambda)$) и Селлмейера (400 $n(\lambda)$) в области полосы поглощения интерполируются дисперсионными формулами для аморфных материалов (205 $n(\lambda)$) урбаха (297 $n(\lambda)$) и Селлмейера (400 $n(\lambda)$) и Селлмейера (400 $n(\lambda)$) и Селлмейера (400 $n(\lambda)$) в области полосы поглощения интерполируются дисперсионными формулами для аморфных материалов (205 $n(\lambda)$) урбаха (297 $n(\lambda)$) урбаха (297 $n(\lambda)$) и Селлмейера (400 $n(\lambda)$) в области полосы поглощения интерполируются дисперсионными формулами для аморфных материалов (205 $n(\lambda)$) урбаха (297 $n(\lambda)$) и Селлмейера (400 $n(\lambda)$) в области потериальной правеления потериальной потериальной потери

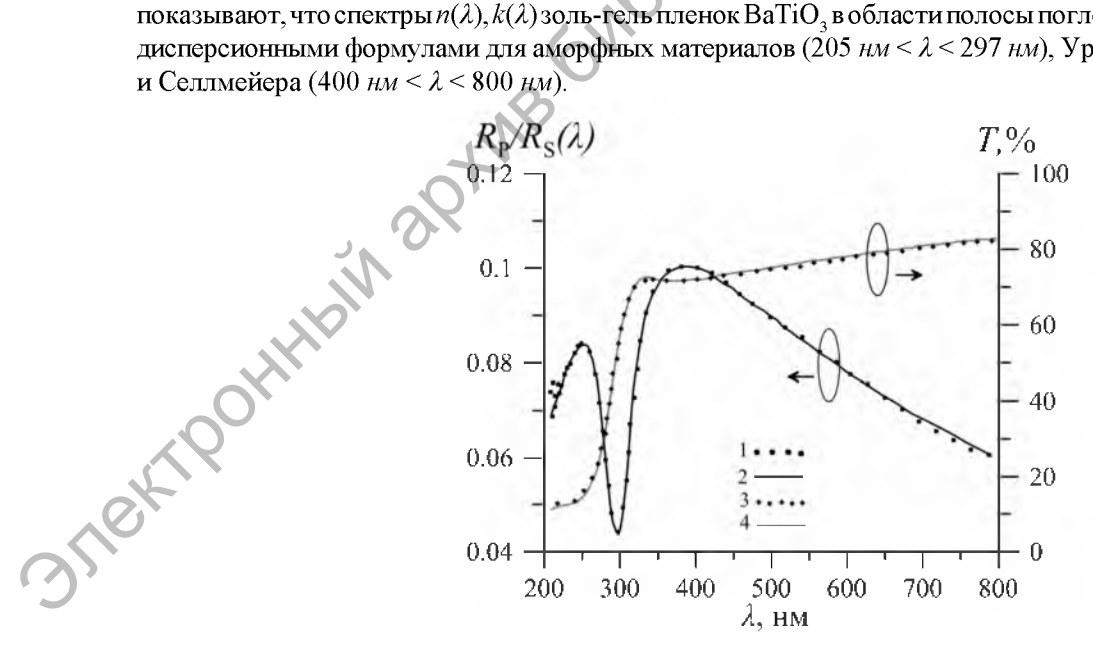


Рисунок 1. Измеренные (1,3) и рассчитанные (2,4) спектры $R_{\sigma}(\lambda)/R_{\sigma}(\lambda)$ (1,2) и $T(\lambda)$ (3,4) пленки

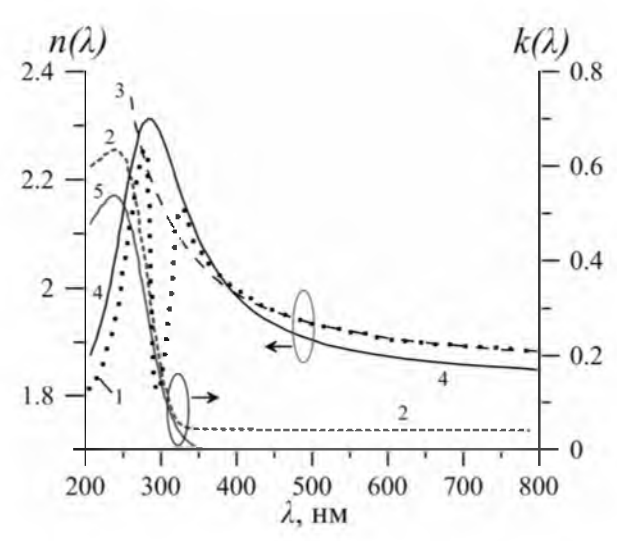


Рисунок 2. Спектры $n(\lambda)$ (1, 3, 4), $k(\lambda)$ (2, 5) пленки

Литература

- Y.V. KALIGITIOBS 1. Холов, П. А. Золь-гель синтез и перспективы применения пленок титаната бария / П. А. Холов, М. В. Руденко, Н. В. Гапоненко // Доклады БГУИР. – 2017. – № 4(106). – С. 32–36.
- 2. Palik, Edward, D. Handbook of optical constants of solids / Edward D. Palik. Academic press, 1988. P. 230.
- JIEKIDOHHILIW ARYNE GWOTHOLOGUN AND STREET OF THE STREET O 3. Стаськов, Н. И. Оптические характеристики пленок титаната стронция, полученных золь-гель методом/ Н. И. Стаськов, А. Б. Сотский, Л. И. Сотская, И. В. Ивашкевич, А. И. Кулак, Н. В. Гапоненко, М. В. Руденко, А. Н. Петлицкий //